



通信电路原理

第四章 非线性电路

基本概念



第四章 非线性电路

- 4.1 非线性电路的基本概念
- 4.2 非线性元件
- 4.3 非线性电路的分析方法
- 4.4 功率放大器
- 4.5 模拟相乘器
- 4.6 变频器

线性时不变系统

■ 线性：均匀性和叠加性

系统函数 $v_o(t) = f[v_i(t)]$

叠加性 $f[v_{i1}(t) + v_{i2}(t)] = f[v_{i1}(t)] + f[v_{i2}(t)]$

均匀性 $f[\alpha v_i(t)] = \alpha f[v_i(t)]$

线性 $f[\alpha v_{i1}(t) + \beta v_{i2}(t)] = \alpha f[v_{i1}(t)] + \beta f[v_{i2}(t)]$

■ 时不变

系统函数 $v_i(t) \xrightarrow{f} v_o(t)$

时不变 $v_i(t - \tau) \xrightarrow{f} v_o(t - \tau)$

教材中的‘**线性电路**’特指**线性时不变电路**；线性时不变电路不会产生新频率分量，因而课本中称‘**非线性电路**’的最大特点是‘**信号通过非线性系统后有新频率产生**’。**非线性应通过不满足均匀性或叠加性判定**

非线性和时变性均可导致输出中出现输入中没有的频率。

本章的‘**时变参量线性电路**’（变频器），对于输入小信号而言，满足叠加性和均匀性，但同时其输出频率和输入频率不同。

4.1 非线性电路的基本概念

4.1.1 元件分类

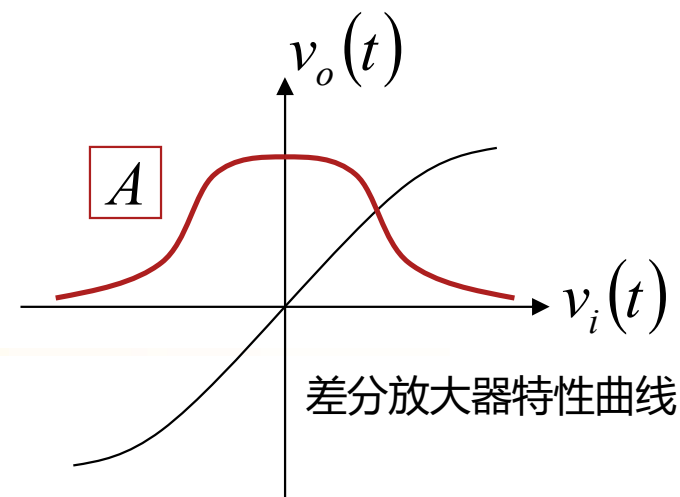
- 线性元件
 - 元件参数与通过元件的电流或施加其上的电压无关
 - R、L、C
- 非线性元件
 - 元件参数与通过元件的电流或施加其上的电压有关
 - 二极管、晶体管BE结、变容二极管 C_j
- 时变参量元件
 - 元件参数按照一定的规律随时间变化，这种变化不因通过元件的电流或施加其上的电压而改变
 - 变频器变频跨导 g



4.1.2 电路分类

- 线性电路
 - 除源之外，只由线性元件组成的电路
 - 谐振回路、无源LC滤波器、小信号放大器、传输线
- 非线性电路
 - 至少含有一个非线性元件，且该元件工作于非线性状态
 - 功率放大器、倍频器、振荡器、频率调制解调器
- 时变参量电路
 - 电路中某个参量受外加信号的控制而按一定的规律随时间变化
 - 外加信号称为控制信号
 - 变频器、模拟相乘器、开关

例



■ LNA

- 理想情况
 - 线性时不变
- 实际情况
 - 非线性时不变

$$v_o(t) = A \cdot v_i(t)$$

$$v_o(t) = A(v_i(t)) \cdot v_i(t)$$

■ Mixer

- 理想情况
 - 时变参量 (线性时变)
- 实际情况
 - 非线性时变

$$v_o(t) = A(v_c(t)) \times v_i(t)$$

$$v_o(t) = A(v_c(t), v_i(t)) \times v_i(t)$$

■ Oscillator

- 非线性电路

$$v_{o,VCO}(t) \approx A_0 \cos(\theta(v_c(t)))$$



线性/非线性/时变参量电路特性

- 线性电路
 - 由线性元件构成/其输出输入关系用线性代数方程或线性微分方程表示/满足叠加性和均匀性
- 非线性电路
 - 至少一个工作于非线性状态的非线性元件/其输出输入关系用非线性代数方程或非线性微分方程表示/输出信号中将产生输入信号中没有的新的频率分量
- 时变参量线性电路
 - 由时变参量线性元件和时不变线性元件组成/用变系数线性方程描述/时变参量线性电路满足线性（叠加性和均匀性）特性，但电路输出中因时变性会出现输入中不存在的新频率分量



4.2 非线性元件

- 4.2.1 非线性元件的分类
 - 电阻
 - 电容
 - 电感
- 4.2.2 非线性元件的描述方法
 - 解析函数描述
 - 幂级数描述
 - 折线描述
- 4.2.3 元件非线性性的影响
 - 单频输入
 - 双频输入

非线性电阻

- 静态电阻: $R=v/i$
- 动态电阻: $r=dv/di$

- 单端口电阻

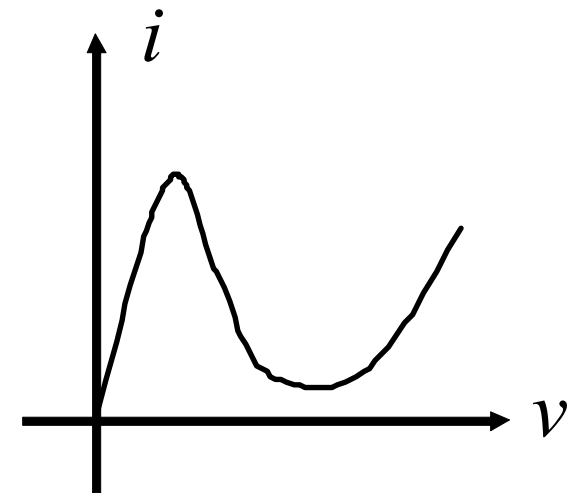
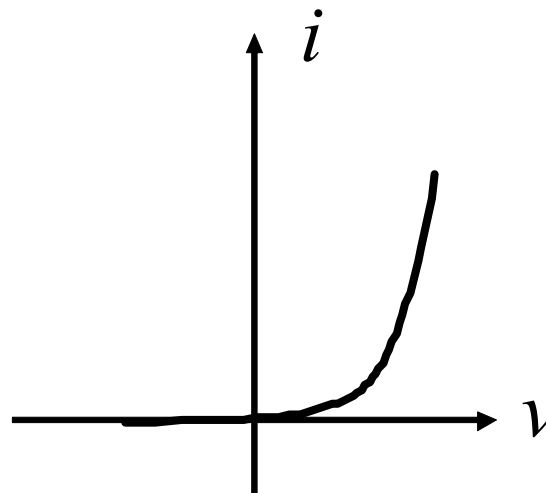
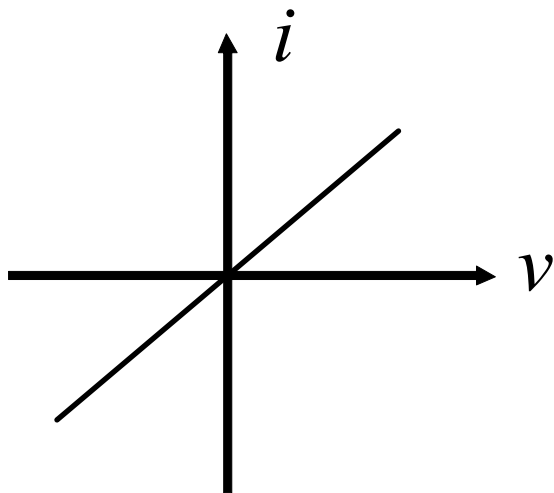
- 线性电阻
- 二极管
- 隧道二极管

- 二端口电阻

- 晶体管

→
$$i = I_S \left(e^{\frac{q}{kT}v} - 1 \right)$$
 PN结二极管的非线性伏安特性方程

$$\mathbf{i} = \mathbf{y}\mathbf{v} \quad \mathbf{y} = \begin{bmatrix} g_{be} & 0 \\ g_m & g_{ce} \end{bmatrix}$$
 晶体管的微分电导矩阵

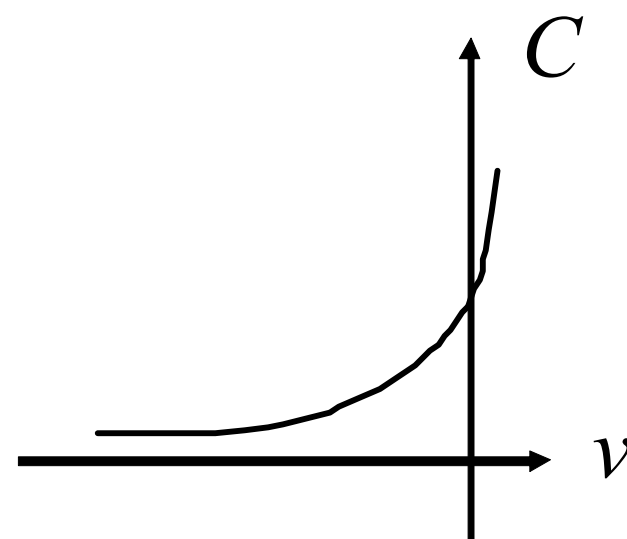
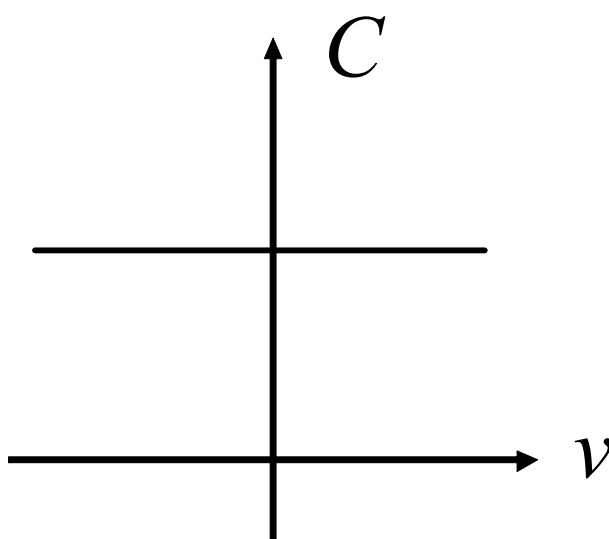
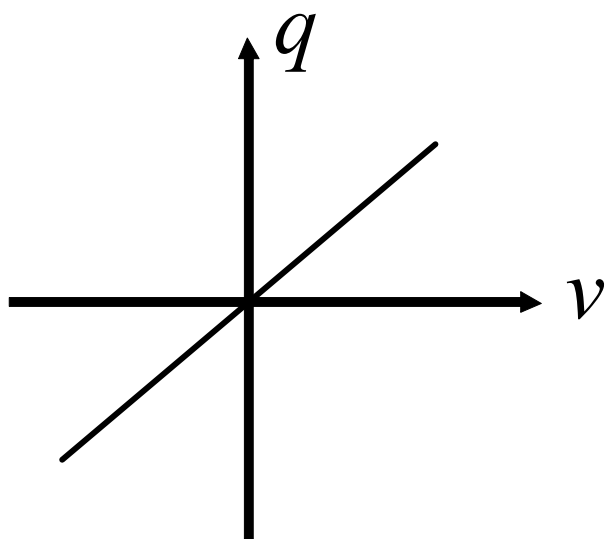


非线性电容

- 静态电容: $C=q/v$
- 动态电容: $C=dq/dv$

- 线性电容
- 变容二极管

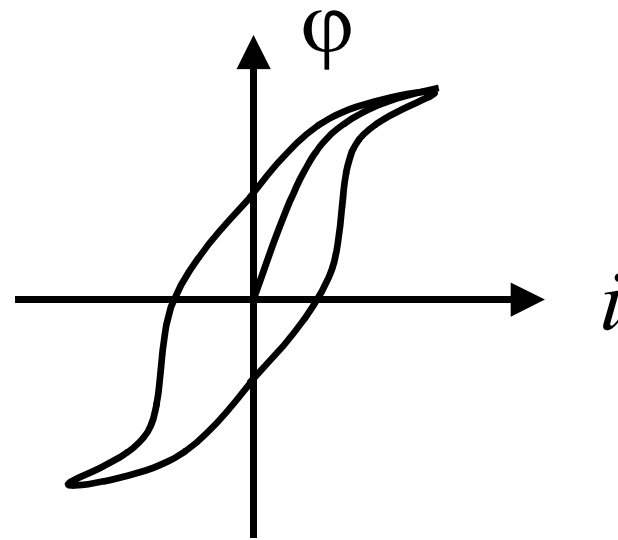
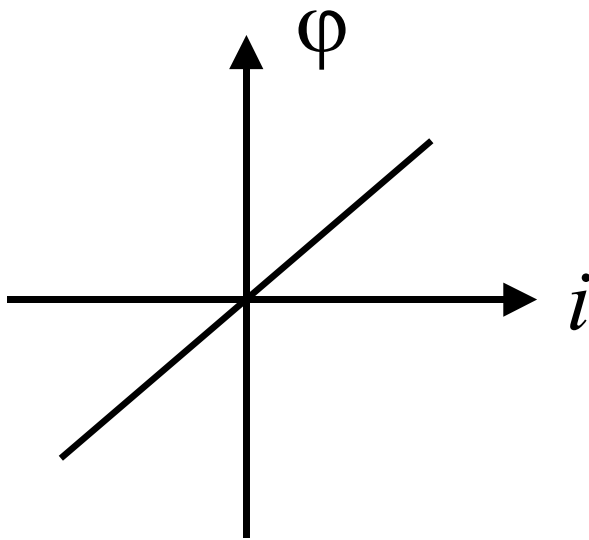
$$C = \frac{C_0}{\left(1 + \frac{V}{\phi}\right)^\gamma}$$



非线性电感

- 静态电感: $L = \varphi / i$
- 动态电感: $L = d\varphi / di$

- 线性电感
- 铁芯电感





4.2.2 非线性元件的描述方法

- 以非线性电阻元件的伏安特性为例
 - 解析函数
 - 幂级数
 - 分段折线

解析函数描述

$$v_T = \frac{kT}{q} = 26mV$$

■ BJT

$$i_c = I_{CEO} \left(e^{\frac{v_{be}}{v_T}} - 1 \right)$$

I_{CEO} 反向截止电流

■ MOSFET

$$i_d = \frac{1}{2} \mu_o C_{ox} \frac{W}{L} (v_{GS} - v_{TH})^2$$

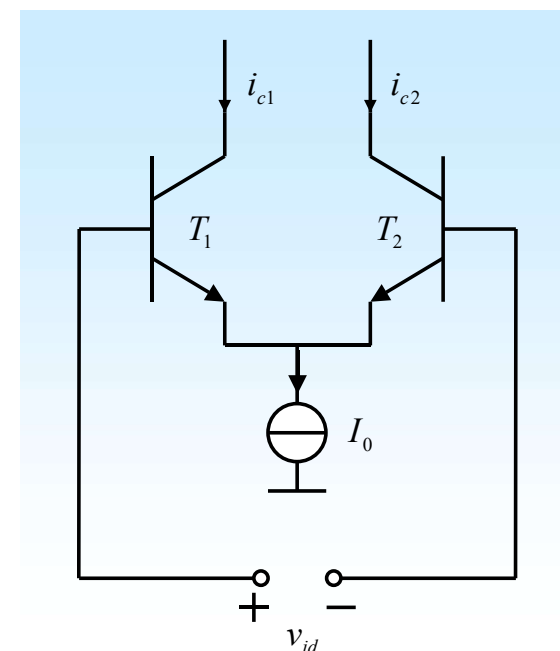
$$\left(\beta = \frac{1}{2} \mu_o C_{ox} \frac{W}{L} \right)$$

■ BJT差分对

$$i_d = i_{c1} - i_{c2} = I_0 \tanh \frac{v_{id}}{2v_T}$$

■ MOSFET差分对

$$i_d = v_{id} \sqrt{2\beta I_0 - \beta^2 v_{id}^2}$$



$$i_{d,MOSFET,DP} = I_0 \sqrt{\frac{2\beta}{I_0}} v_{id}(t) - \frac{I_0}{8} \left(\sqrt{\frac{2\beta}{I_0}} \right)^3 v_{id}^3(t) - \frac{I_0}{128} \left(\sqrt{\frac{2\beta}{I_0}} \right)^5 v_{id}^5(t) + \dots$$

幂级数描述

$$i_{d,BJT,DP} = I_0 \left[\frac{v_{id}}{2v_T} - \frac{1}{3} \left(\frac{v_{id}}{2v_T} \right)^3 + \frac{2}{15} \left(\frac{v_{id}}{2v_T} \right)^5 + \dots \right]$$

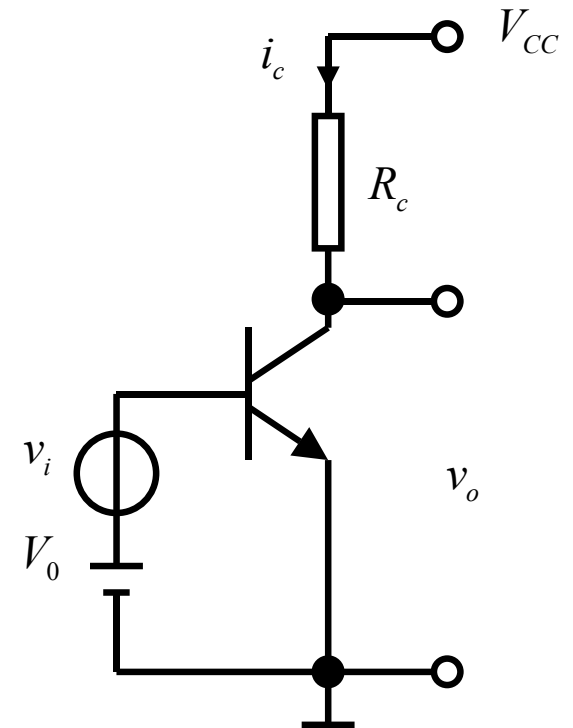
- 当输入信号为小信号时，可在直流工作偏置点 V_0 处展开为幂级数
 - 以BJT晶体管为例

$$i_c = f_c(v_{be}, v_{ce}) = f_c(V_0 + v_{in}, V_{CE0} + v_{out})$$

未考虑厄利效应

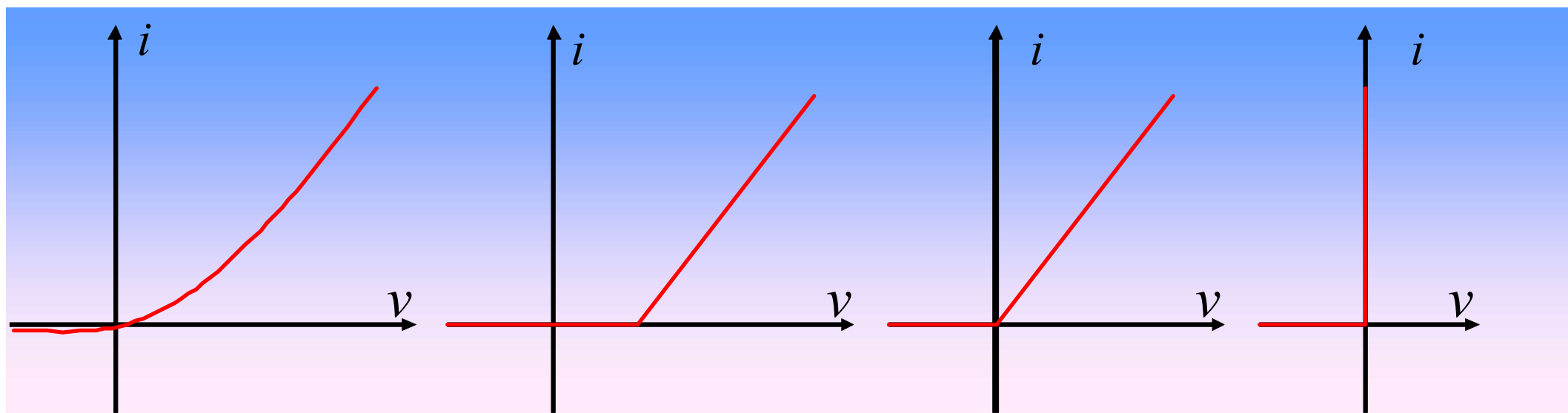
$$= a_0 + a_1 v_i + a_2 v_i^2 + a_3 v_i^3 + \dots$$

$$= \sum_{n=0}^{\infty} a_n v_i^n$$



折线描述

- 当输入为大信号时，可用分段折线来描述元件的非线性
 - 以二极管为例



二极管实际特性

线性电阻模型

理想整流模型

二极管开关

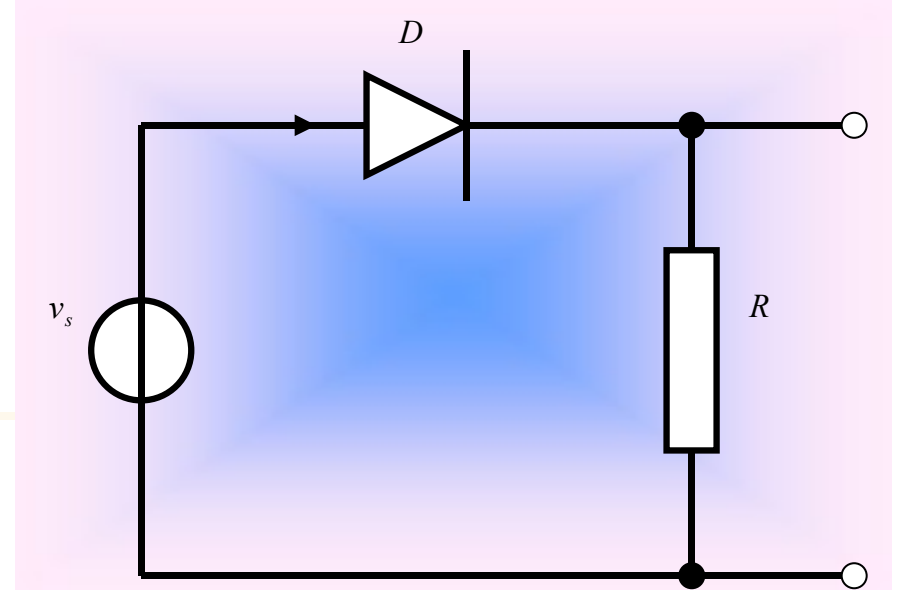
$$v_s = V_{sm} \cos \omega t$$

$$V_R = \begin{cases} \frac{R}{R + g_D^{-1}} v_s & \cos \omega t > 0 \\ 0 & \cos \omega t < 0 \end{cases}$$

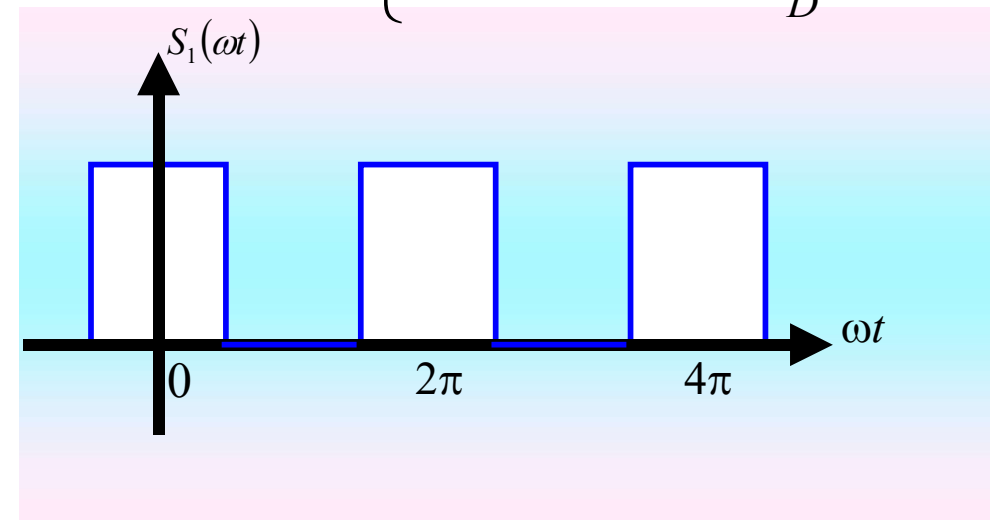
$$= \frac{R}{R + g_D^{-1}} V_{sm} \cos \omega t S_1(\omega t)$$

$$S_1(\omega t) = \begin{cases} 1 & \cos \omega t > 0 \\ 0 & \cos \omega t < 0 \end{cases}$$

$$= \frac{1}{2} + \frac{2}{\pi} \cos \omega t - \frac{2}{3\pi} \cos 3\omega t + \frac{2}{5\pi} \cos 5\omega t - \dots$$



$$i_D = \begin{cases} g_D V_D & V_D > 0 \\ 0 & V_D < 0 \end{cases}$$



- 以无记忆时不变系统的幂级数表述为例

$$i_c = a_0 + a_1 v_i + a_2 v_i^2 + a_3 v_i^3 + \dots$$

4.2.3 元件非线性性的影响

- 单频输入

$$v_i(t) = V_{im} \cos \omega t$$

$$i_c(t) = a_0 + a_1 V_{im} \cos \omega t + a_2 V_{im}^2 \cos^2 \omega t + a_3 V_{im}^3 \cos^3 \omega t + \dots$$

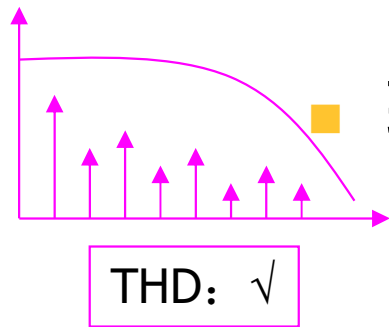
- 谐波
- 功率压缩

直流偏置 因偶次非线性而产生的直流偏移



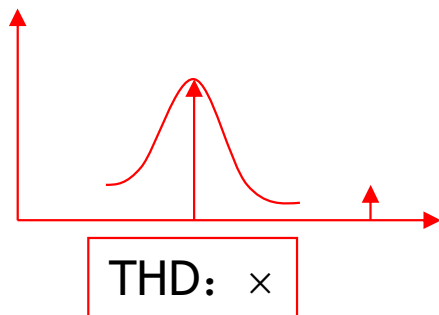
$$i_c(t) = \left[a_0 + a_2 \frac{V_{im}^2}{2} + \dots \right] + \cos \omega t \left[a_1 V_{im} + \frac{3}{4} a_3 V_{im}^3 + \dots \right] \\ + \cos 2\omega t \left[\frac{a_2}{2} V_{im}^2 + \dots \right] + \cos 3\omega t \left[\frac{a_3}{4} V_{im}^3 + \dots \right] + \dots$$

二次谐波 基波 三次谐波



输出出现各次谐波分量

- 对低频和宽带电路，可用THD来描述电路的非线性
- 但是对于射频电路，电路中往往通过滤波电路将谐波影响消除



- 由于谐波分量被滤除，不能就此确认放大器线性性能好
- 因此，对射频电路，其非线性的描述需要用其他参数
 - 1dB功率压缩点和三阶交调截点IP3

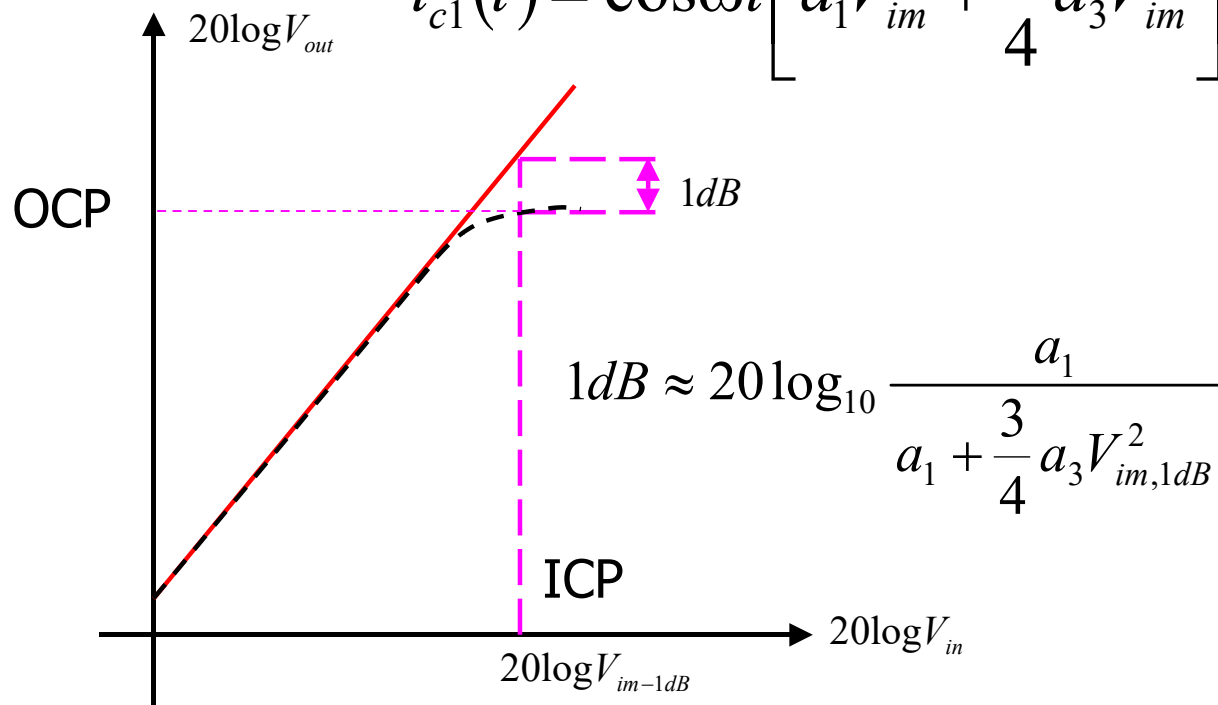
$$THD = \frac{\text{Total Power of all harmonics}}{\text{Power of fundamental frequency}}$$

compression 差分对管: $i_d = i_{c1} - i_{c2} = I_0 \tanh \frac{v_{id}}{2v_T} = I_0 \left[\frac{v_{id}}{2v_T} - \frac{1}{3} \left(\frac{v_{id}}{2v_T} \right)^3 + \frac{2}{15} \left(\frac{v_{id}}{2v_T} \right)^5 + \dots \right]$

功率压缩

- 只考虑到三次幂级数项，则基频分量为

$$i_{c1}(t) = \cos \omega t \left[a_1 V_{im} + \frac{3}{4} a_3 V_{im}^3 \right] = \left[a_1 + \frac{3}{4} a_3 V_{im}^2 \right] v_i(t)$$



$$g_m = \frac{i_c}{v_{in}} = a_1 + \frac{3}{4} a_3 V_{im}^2 \quad (a_3 < 0)$$

$$1dB \approx 20\log_{10} \frac{a_1}{a_1 + \frac{3}{4} a_3 V_{im,1dB}^2}$$

$$V_{im-1dB} = \sqrt{0.145 \left| \frac{a_1}{a_3} \right|}$$

OCP ~ -10dBm, 10dBm, 25dBm

$$i_c = a_0 + a_1 v_i + a_2 v_i^2 + a_3 v_i^3 + \dots$$

双频输入

■ 非线性影响

■ 新的频率分量

■ 堵塞

■ 交调干扰

■ 互调失真

$$v_i(t) = V_{1m} \cos \omega_1 t + V_{2m} \cos \omega_2 t$$

$$\begin{aligned} i_c(t) = & \underbrace{a_0 + \frac{1}{2} a_2 V_{1m}^2 + \frac{1}{2} a_2 V_{2m}^2}_{\text{DC component}} \\ & + \underbrace{(a_1 V_{1m} + \frac{3}{4} a_3 V_{1m}^3 + \frac{3}{2} a_3 V_{1m} V_{2m}^2) \cos \omega_1 t + (a_1 V_{2m} + \frac{3}{4} a_3 V_{2m}^3 + \frac{3}{2} a_3 V_{1m}^2 V_{2m}) \cos \omega_2 t}_{\text{Fundamental components}} \\ & + \underbrace{\frac{1}{2} a_2 V_{1m}^2 \cos 2\omega_1 t + \frac{1}{2} a_2 V_{2m}^2 \cos 2\omega_2 t + a_2 V_{1m} V_{2m} \cos(\omega_1 + \omega_2) t + a_2 V_{1m} V_{2m} \cos(\omega_1 - \omega_2) t}_{\text{Second-order harmonics and intermodulation}} \\ & + \frac{1}{4} a_3 V_{1m}^3 \cos 3\omega_1 t + \frac{1}{4} a_3 V_{2m}^3 \cos 3\omega_2 t \\ & + \frac{3}{4} a_3 V_{1m}^2 V_{2m} \cos(2\omega_1 + \omega_2) t + \frac{3}{4} a_3 V_{1m} V_{2m}^2 \cos(2\omega_1 - \omega_2) t \\ & + \frac{3}{4} a_3 V_{1m} V_{2m}^2 \cos(2\omega_2 + \omega_1) t + \frac{3}{4} a_3 V_{1m}^2 V_{2m} \cos(2\omega_2 - \omega_1) t \end{aligned}$$

堵塞

block

- 如果有用信号 V_{1m} 远小于强干扰信号 V_{2m} ，则输出的有用信号基波电流分量为

$$i_{s,out} = \left(a_1 + \frac{3}{4} a_3 V_{1m}^2 + \frac{3}{2} a_3 V_{2m}^2 \right) V_{1m} \cos \omega_1 t \approx \left(a_1 + \frac{3}{2} a_3 V_{2m}^2 \right) v_{s,in}(t)$$

- 准线性跨导为 $g_m = a_1 + \frac{3}{2} a_3 V_{2m}^2$
- 干扰信号增强，跨导变小，有用信号输出电流变小，甚至趋于零，称为堵塞

交叉调制干扰

Cross Modulation

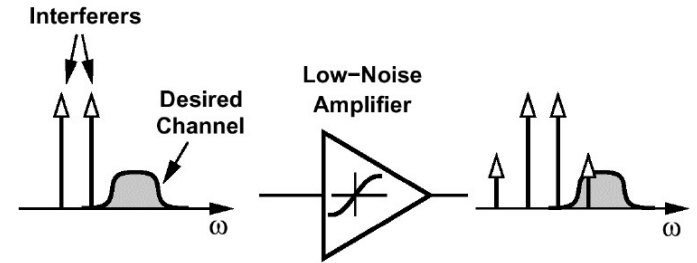
- 如果有用信号 V_{1m} 远小于强干扰信号 V_{2m} ，且干扰信号为幅度调制信号，

$$v_2(t) = V_{2m}(1 + m_a \cos \Omega t) \cos \omega_2 t$$

- 则输出的有用信号基波电流分量为

$$\begin{aligned} i_{s,out} &= \left(a_1 + \frac{3}{2} a_3 V_{2m}^2 (1 + m_a \cos \Omega t)^2 \right) v_{s,in}(t) \\ &= \left(a_1 + \frac{3}{2} a_3 V_{2m}^2 + \frac{3 a_3 m_a V_{2m}^2 \cos \Omega t}{1} + \frac{3}{2} a_3 m_a^2 V_{2m}^2 \cos^2 \Omega t \right) v_{s,in}(t) \end{aligned}$$

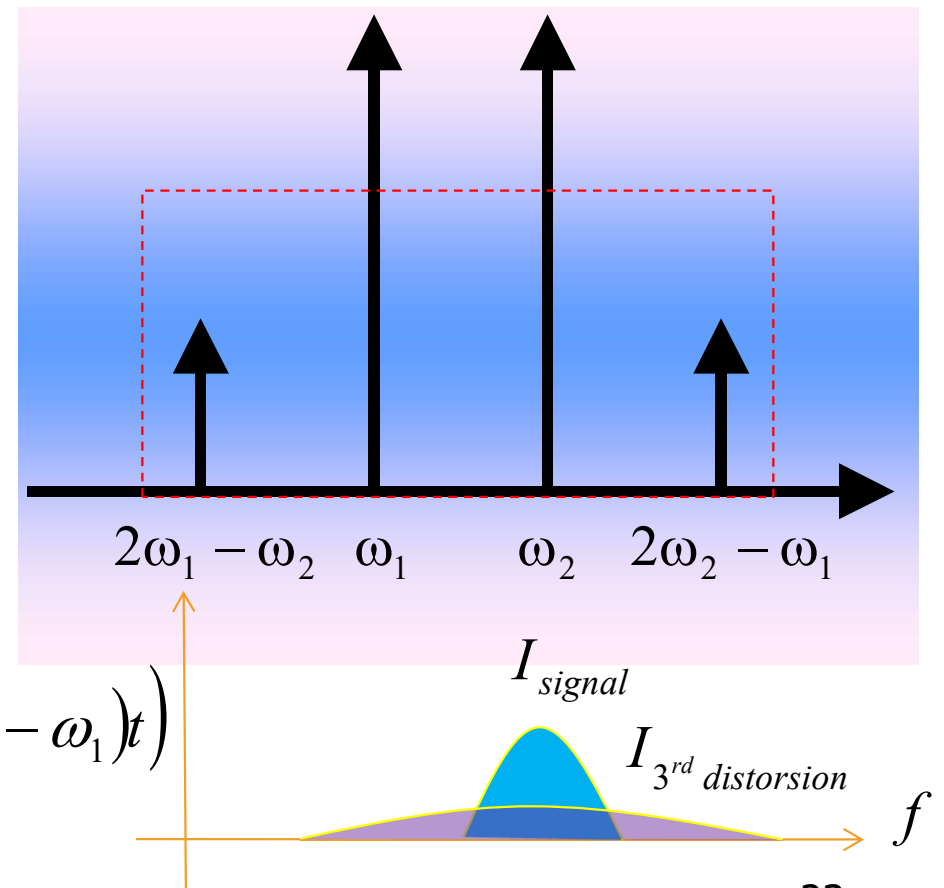
- 干扰信号的幅度调制信息转移到有用信号的幅度上，如果有用信号也是调幅信号，经幅度解调后将会听到干扰台的串音，称为交叉调制干扰



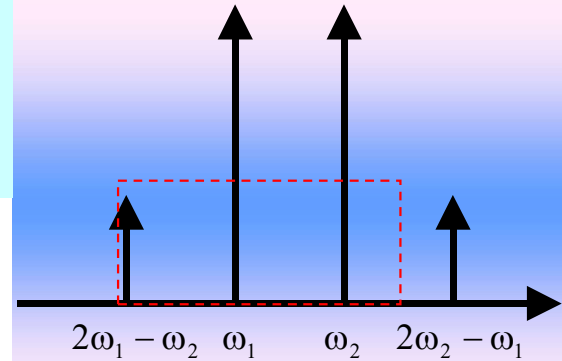
落入有用信号频带内的三阶项

- 当两个频率十分接近的信号输入放大器后，由器件非线性产生的组合频率分量中， $2\omega_1 - \omega_2$ 和 $2\omega_2 - \omega_1$ 比较靠近基波分量
- 假设 $V_{1m} = V_{2m} = V_m$ ，则落入有用信号频带内信号的电流为

$$i \approx \left(a_1 + \frac{9}{4} a_3 V_m^2 \right) V_m (\cos \omega_1 t + \cos \omega_2 t) + \left(\frac{3}{4} a_3 V_m^2 \right) V_m (\cos(2\omega_1 - \omega_2)t + \cos(2\omega_2 - \omega_1)t)$$



$$i \approx a_1 V_m (\cos \omega_1 t + \cos \omega_2 t) + \frac{3}{4} a_3 V_m^3 \cos(2\omega_1 - \omega_2)t + \dots$$



互相调制失真

Inter-modulation

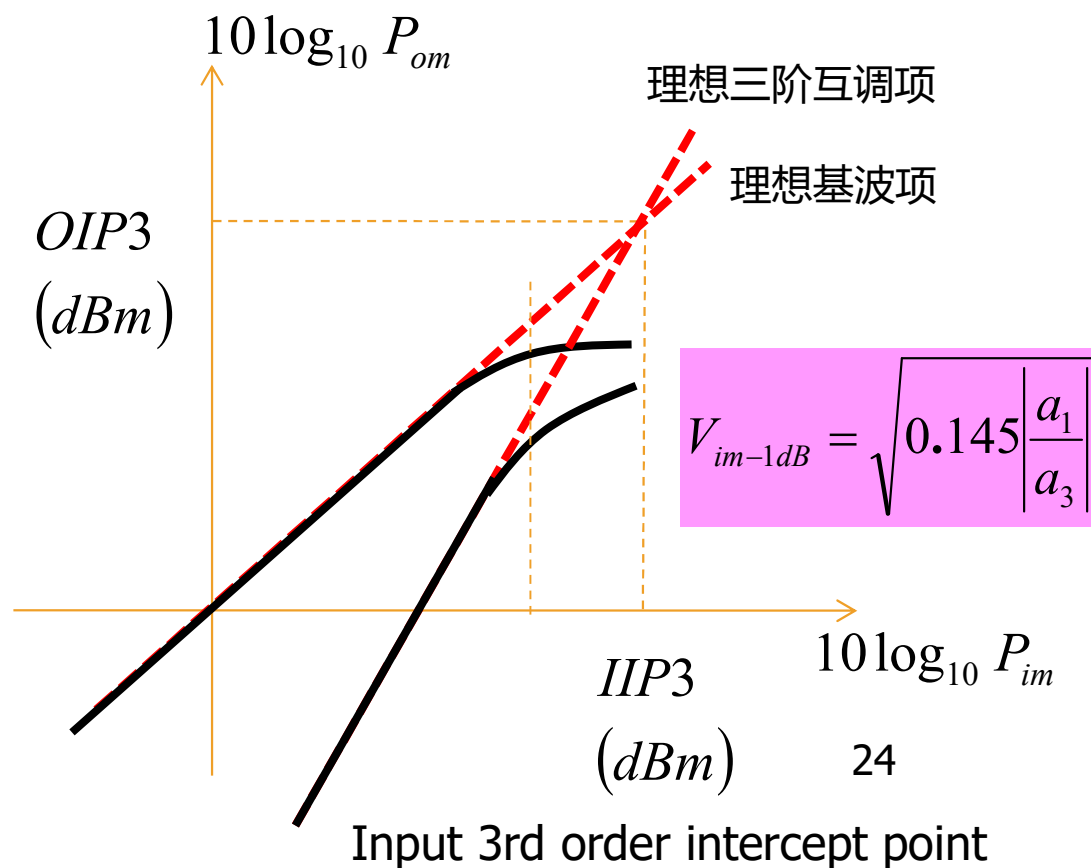
- 互调失真定义为互调项与有用信号项之比

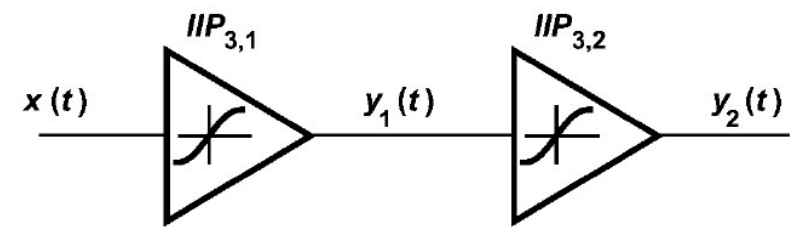
$$IMR = \frac{3}{4} \frac{a_3}{a_1} V_m^2$$

$$P_{IMR} = (IMR)^2$$

- 互调失真比为1时的输入信号电平记为三阶交调截点IP3

$$V_{im-IP3} = \sqrt{\frac{4}{3} \left| \frac{a_1}{a_3} \right|}$$





非线性系统的级联

$$y_1(t) = a_1 x(t) + a_2 x^2(t) + a_3 x^3(t)$$

$$y_2(t) = b_1 y_1(t) + b_2 y_1^2(t) + b_3 y_1^3(t)$$

$$= a_1 b_1 x(t) + (a_3 b_1 + 2a_1 a_2 b_2 + a_1^3 b_3) x^3(t) + \dots$$

$$A_{IP3} = \sqrt{\frac{4}{3} \left| \frac{a_1 b_1}{a_3 b_1 + 2a_1 a_2 b_2 + a_1^3 b_3} \right|}$$

$$\frac{1}{A_{IP3}^2} = \frac{3}{4} \frac{|a_3 b_1| + 2|a_1 a_2 b_2| + |a_1^3 b_3|}{|a_1 b_1|} = \frac{1}{A_{1,IP3}^2} + \frac{3}{2} \left| \frac{a_2 b_2}{b_1} \right| + \frac{a_1^2}{A_{2,IP3}^2}$$

$$\frac{1}{A_{IP3}^2} \approx \frac{1}{A_{1,IP3}^2} + \frac{a_1^2}{A_{2,IP3}^2} + \frac{a_1^2 b_1^2}{A_{3,IP3}^2} + \dots$$

$$\frac{1}{IIP3} \approx \frac{1}{IIP3_1} + \frac{1}{IIP3_2/G_1} + \frac{1}{IIP3_3/G_1 G_2} + \dots$$

■ 适当的选择可以得到任意高的IP3

- 实际器件一般并不允许这样的选择，以最坏情况进行估计

- 对射频系统而言，几乎每一级都有选频回路，使得通带之外的分量被大大衰减

- 如果每一级都有增益，那么后一级的非线性将会变得十分严重

- 级联系统的非线性主要取决于最后一级



动态范围

- 信号的处理过程中，有两个不可避免的限制
 - 电子器件的噪声将限制线性电路所处理的信号的下限
 - 过小的信号被噪声淹没而无法有效识别
 - 有源器件（晶体管）的非线性会限制等效小信号线性电路所处理信号的上限
 - 过大的信号会产生非线性失真频率分量，对有用信号形成干扰
- **动态范围**被用来描述线性系统同时处理大信号和小信号的能力

无杂散动态范围

Spurious Free Dynamic Range: SFDR

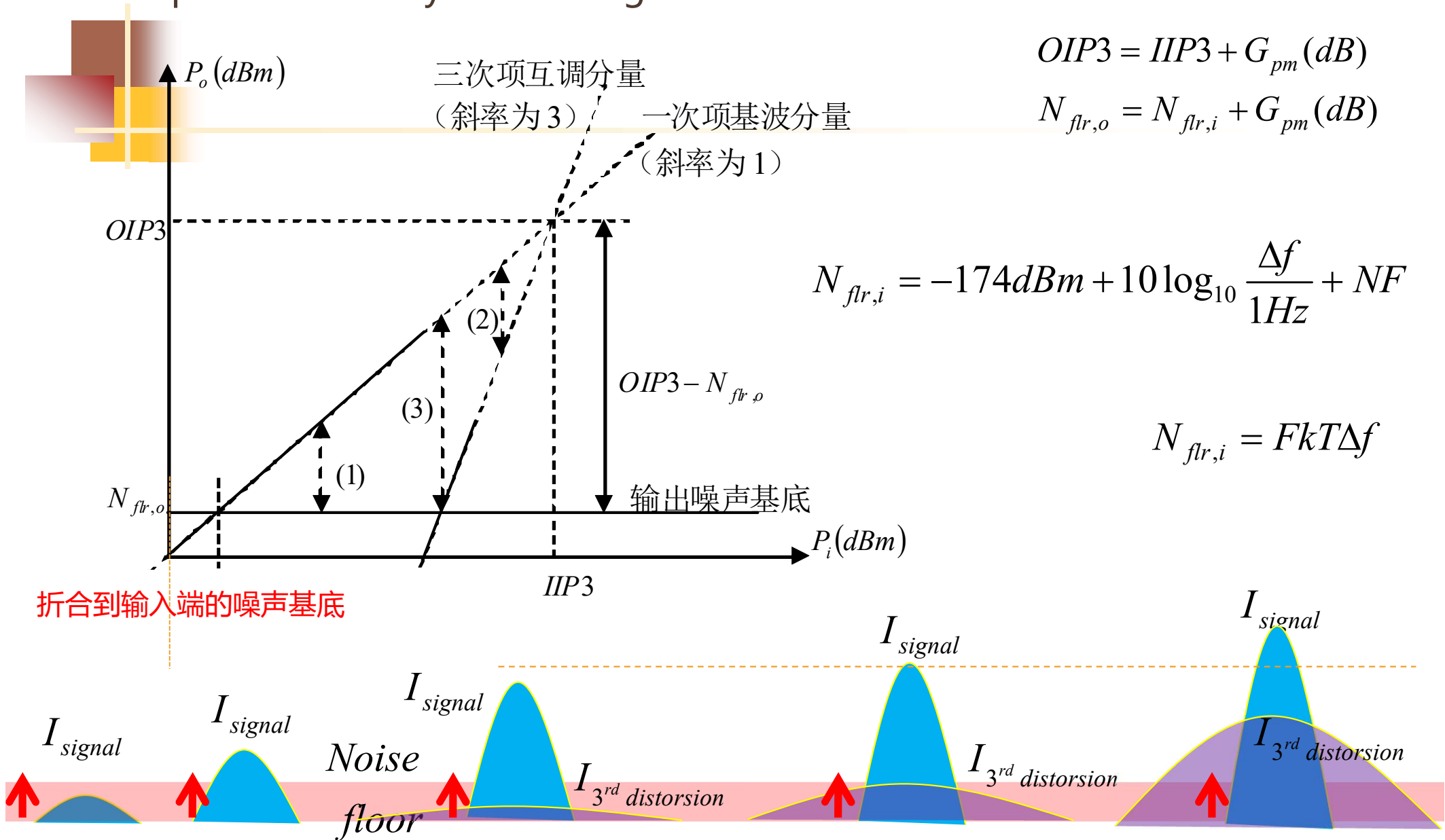
$$SFDR = \frac{2}{3}(OIP3 - N_{flr,o}) = \frac{2}{3}(IIP3 - N_{flr,i})$$

$$OIP3 = IIP3 + G_{pm} (dB)$$

$$N_{flr,o} = N_{flr,i} + G_{pm} (dB)$$

$$N_{flr,i} = -174dBm + 10\log_{10} \frac{\Delta f}{1Hz} + NF$$

$$N_{flr,i} = FkT\Delta f$$





4.3 非线性电路的分析方法

- 非线性电路可分为非线性电阻电路和非线性动态电路
 - 非线性电阻电路仅由非线性电阻（和线性电阻）构成：可用非线性代数方程描述
 - 非线性动态电路包含至少一个非线性元件和一个储能元件（电容、电感）：需用非线性微分方程描述
- 非线性电阻电路的分析方法和非线性电阻元件的表示方法相对应

- 相同的地方：电路基本定律同样适用，唯一不同的是元件描述方程不同

4.3.1 线性 and 非线性电路分析异同点

- 不同的处理方法

- 线性电路具有叠加性和均匀性：分别计算单个信号单独激励时的响应，叠加即可得到总响应；（非线性电路不能这样处理）
- 线性时不变电路的传输特性只由系统本身决定，与激励信号无关：可以用单位冲激响应或传输函数表示线性时不变系统；（非线性电路只能在特定输入情况下求输出）
 - 线性时不变电路可以用线性微分方程表示：可以用傅立叶变换或拉普拉斯变换进行电路的频域分析；（对非线性电路进行频域分析十分困难）

4.3.2 非线性电阻电路 的近似分析方法

- 对非线性电路的分析没有统一的方法
 - 对非线性电路的分析是困难的，难于找到统一的方法，只能针对某一类型的非线性电路，采用适合这种电路的分析方法
- 可利用计算机获得非线性函数方程的数值解
 - 牛顿-拉夫逊迭代法
 - 不利于对电路工作物理过程的了解
- 对简单非线性电阻电路，采用近似分析
 - 幂级数法
 - 折线法
 - 精度稍差，但对电路工作机理的了解是有利的

牛顿-拉夫逊迭代

- 是目前多数电路分析程序中非线性分析方法的基础

非线性代数方程: $f(x)=0$

$k+1$ 次迭代解: $x^{(k+1)} = x^{(k)} + \delta x^{(k)}$

台劳展开: $f(x^{(k+1)}) = f(x^{(k)} + \delta x^{(k)}) \approx f(x^{(k)}) + f'(x^{(k)})\delta x^{(k)}$

迭代解更接近于真解: $f(x^{(k+1)}) \rightarrow 0$

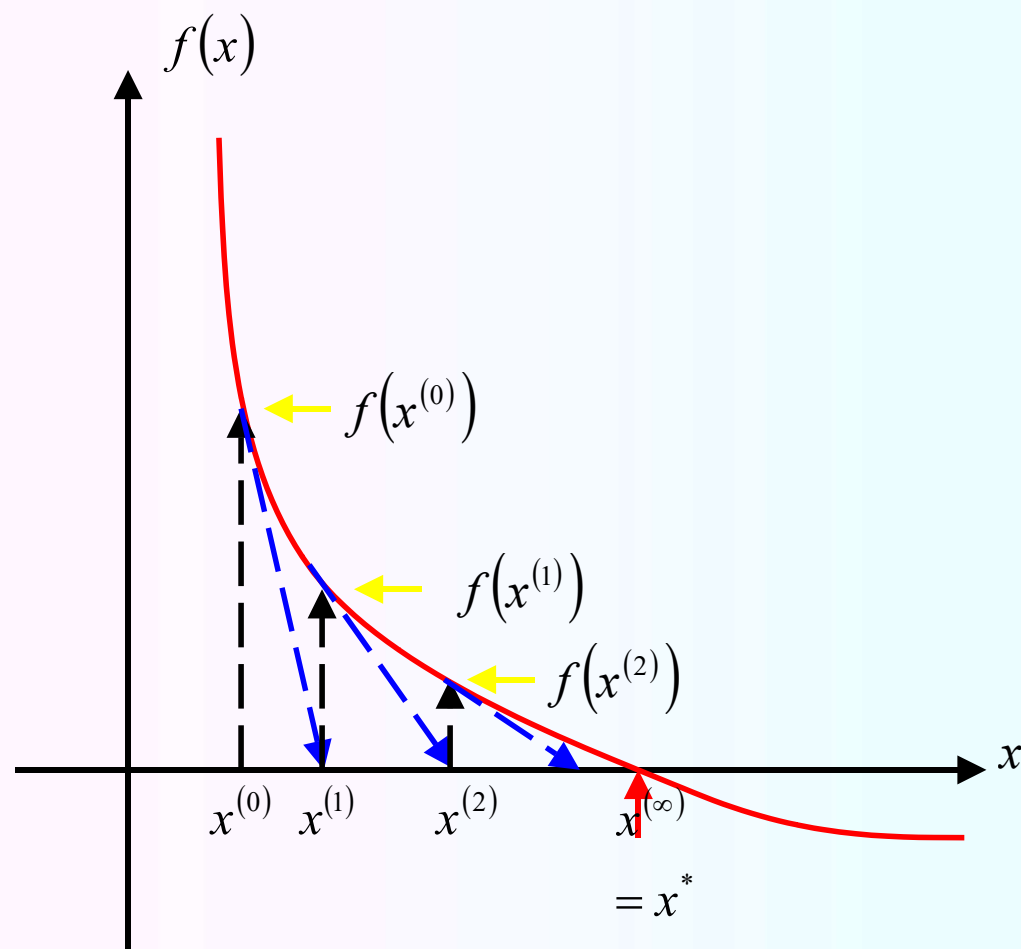
迭代步长: $f(x^{(k)}) + f'(x^{(k)})\delta x^{(k)} = 0 \Rightarrow \delta x^{(k)} = -f(x^{(k)})/f'(x^{(k)})$

$N-R$ 迭代格式: $x^{(k+1)} = x^{(k)} - f(x^{(k)})/f'(x^{(k)})$

$$x^{(k+1)} = x^{(k)} - f(x^{(k)}) / f'(x^{(k)})$$

非线性方程线性化

- N-R方法的实质是在每个迭代点上将非线性方程线性化，用迭代点切线近似非线性特性，把非线性方程转化为各个迭代点上的线性方程





幂级数分析法

- 如果函数 f 在静态工作点 V_0 处的各阶导数存在，则可展开为幂级数，即泰勒级数

$$\begin{aligned} i &= f(v) = f(V_0 + v_i) \\ &= a_0 + a_1(v - V_0) + a_2(v - V_0)^2 + a_3(v - V_0)^3 + \dots \\ &= a_0 + a_1 v_i + a_2 v_i^2 + a_3 v_i^3 + \dots \\ &= \sum_{n=0}^{\infty} a_n v_i^n \end{aligned}$$

$$a_0 = f(V_0) = I_0 \quad a_1 = f'(V_0) = g \quad a_n = \frac{1}{n!} \frac{d^n f}{dv^n} \Big|_{v=V_0}$$

工程近似

$$i = \sum_{n=0}^{\infty} a_n (v - V_0)^n$$

- 工程计算所允许的准确度范围内，尽量选取少量的项数近似

- 线性近似

$$i = I_0 + g(v - V_0)$$

放大器：小信号线性分析

- 二次项近似

$$i = I_0 + g(v - V_0) + g'(v - V_0)^2$$

变频器：变频分析

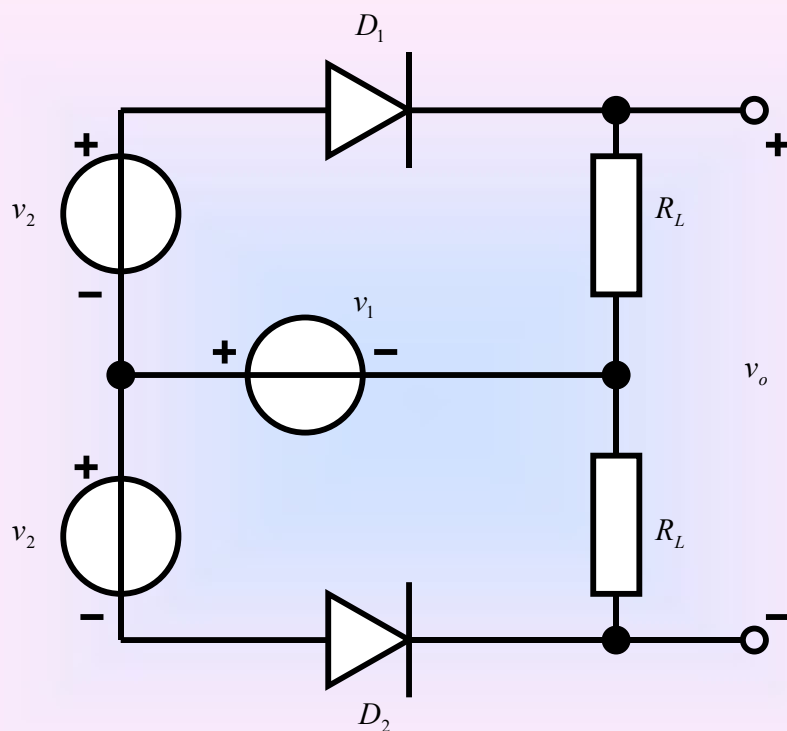
- 三次项近似

$$i = I_0 + g(v - V_0) + g'(v - V_0)^2 + g''(v - V_0)^3$$

非线性分析

启示：不一定用滤波器去除某些频率分量，
可用差分平衡的方法去除偶次谐波项

例：习题4-9



$$i_D = kv_D^2$$

$$v_{D1} = v_1 + v_2 - v_{lu} \approx v_1 + v_2$$

$$v_{D2} = v_1 - v_2 + v_{ld} \approx v_1 - v_2$$

$$\begin{aligned} v_o &= i_{D1} R_L - i_{D2} R_L \\ &= R_L (i_{D1} - i_{D2}) \\ &= k R_L (v_{D1}^2 - v_{D2}^2) \\ &= k R_L (v_{D1} + v_{D2})(v_{D1} - v_{D2}) \\ &\approx k R_L (2v_1)(2v_2) \\ &= 4k R_L v_1 v_2 \end{aligned}$$

对幂级数非线性分析的总结

- 除了基波分量外, 产生了新的频率分量
 - 谐波分量 $2\omega_1, 2\omega_2, 3\omega_1, 3\omega_2, \dots$
 - 组合频率分量 $\omega_1 \pm \omega_2, \omega_1 \pm 2\omega_2, 2\omega_1 \pm \omega_2, \dots$
 - 成对出现 $p\omega_1 \pm q\omega_2 \quad (p+q \leq n)$
- 偶次项频率分量（包括直流、偶次谐波、和 $p+q$ 为偶数）只和幂级数偶次项系数有关；奇次项频率分量只和奇次项系数有关
- m 次项频率分量，其幅度只和幂级数中 $\geq m$ 次的系数有关

尖顶余弦脉冲

$$i(t) = \begin{cases} g(v_i(t) - V_{th}) = g(V_B + V_{im} \cos \omega t - V_{th}) & \text{二极管导通} \\ 0 & \text{二极管截止} \end{cases}$$

二极管导通
二极管截止

折线分析法

$$i = \begin{cases} 0 & v \leq V_{th} \\ g(v - V_{th}) & v > V_{th} \end{cases}$$

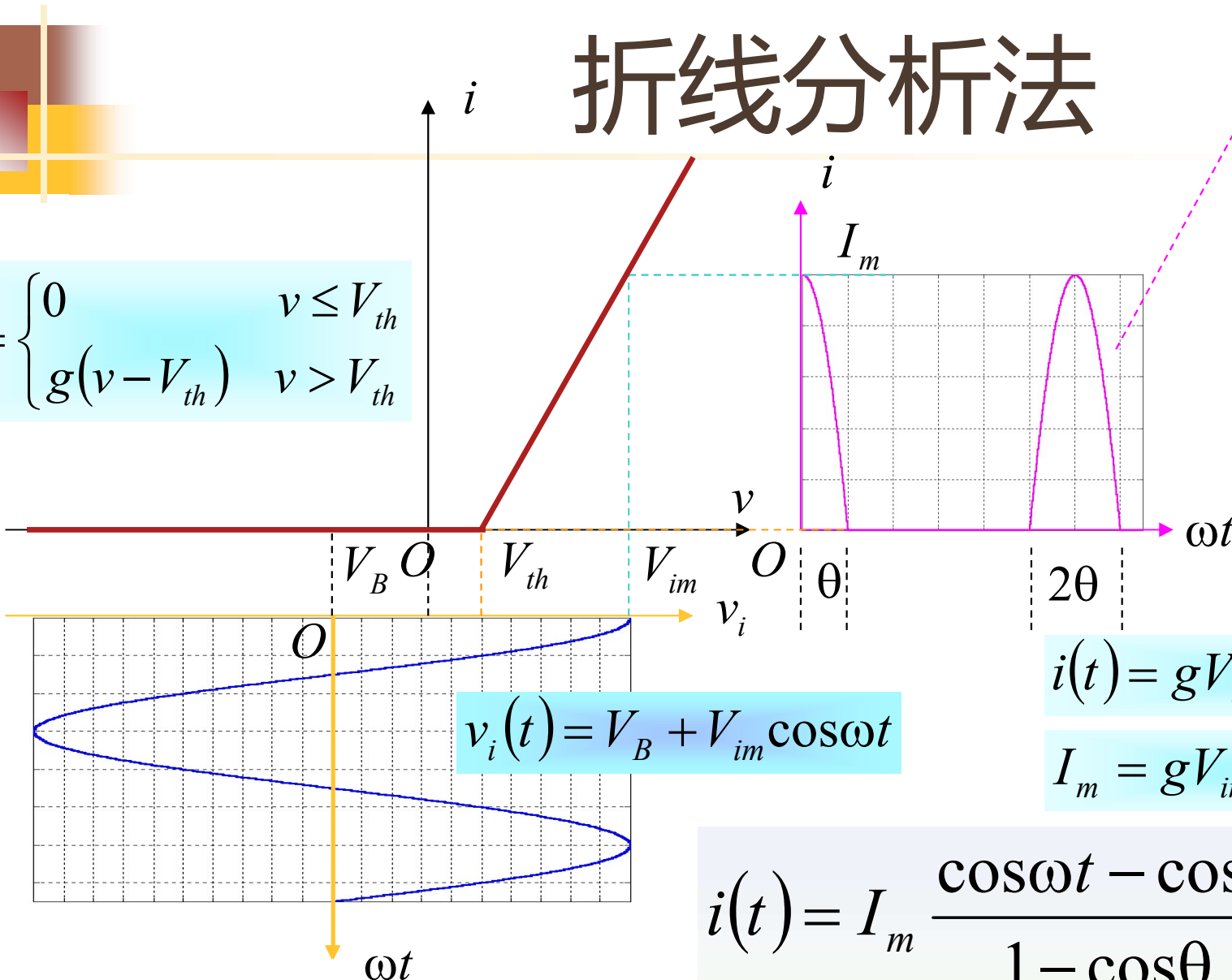
$$\omega t = \theta : i(t) = 0$$

$$\cos \theta = \frac{V_{th} - V_B}{V_{im}}$$

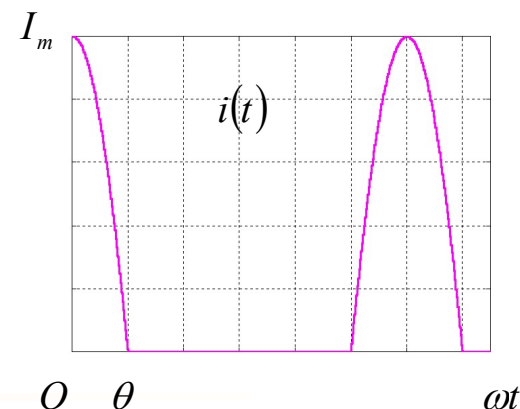
$$i(t) = gV_{im}(\cos \omega t - \cos \theta)$$

$$I_m = gV_{im}(1 - \cos \theta)$$

$$i(t) = I_m \frac{\cos \omega t - \cos \theta}{1 - \cos \theta} \quad (|\omega t| \leq \theta)$$



$$i(t) = \begin{cases} I_m \frac{\cos \omega t - \cos \theta}{1 - \cos \theta} & |\omega t| \leq \theta \\ 0 & \text{一个周期内的其他位置} \end{cases}$$



尖顶余弦脉冲

- $i(t)$ 是一个以 $T = 2\pi/\omega$ 为周期的周期函数，可以用傅立叶级数展开研究

$$i(t) = I_0 + I_1 \cos \omega t + I_2 \cos 2\omega t + \dots$$

谐波分解系数

$$I_0 = \frac{1}{2\pi} \int_{-\theta}^{\theta} i(t) d\omega t = I_m \frac{\sin \theta - \theta \cos \theta}{\pi(1 - \cos \theta)} \rightarrow \alpha_0(\theta)$$

$$I_1 = \frac{1}{\pi} \int_{-\theta}^{\theta} i(t) (\cos \omega t) d\omega t = I_m \frac{\theta - \sin \theta \cos \theta}{\pi(1 - \cos \theta)} \rightarrow \alpha_1(\theta)$$

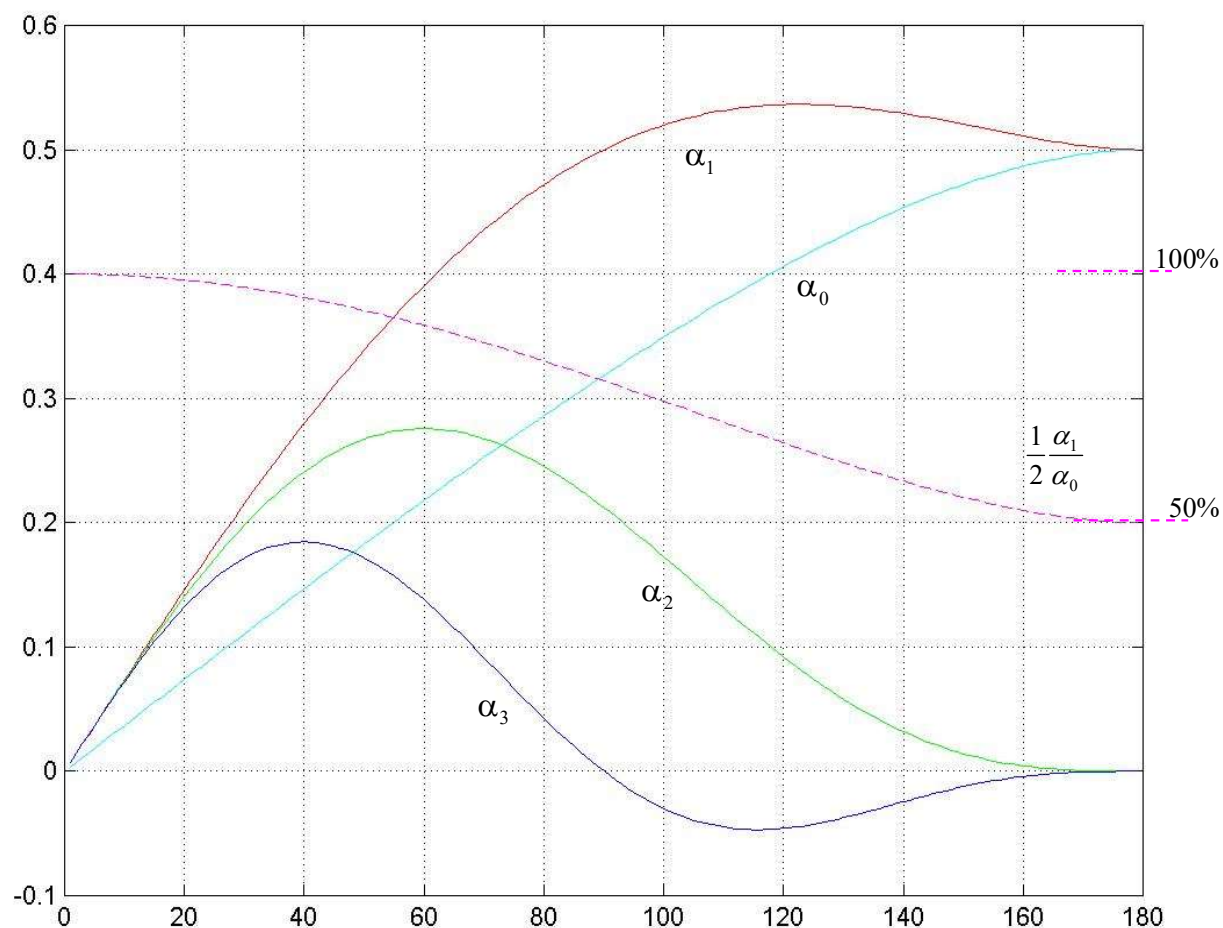
$$I_n = \frac{1}{\pi} \int_{-\theta}^{\theta} i(t) (\cos n\omega t) d\omega t = I_m \frac{2(\sin n\theta \cos \theta - n \cos n\theta \sin \theta)}{n\pi(n^2 - 1)(1 - \cos \theta)} \rightarrow \alpha_n(\theta)$$

谐波分解系数

$$\alpha_0(\theta) = \frac{\sin \theta - \theta \cos \theta}{\pi(1 - \cos \theta)}$$

$$\alpha_1(\theta) = \frac{\theta - \sin \theta \cos \theta}{\pi(1 - \cos \theta)}$$

$$\alpha_n(\theta) = \frac{2(\sin n\theta \cos \theta - n \cos n\theta \sin \theta)}{n\pi(n^2 - 1)(1 - \cos \theta)} \quad (n \geq 2)$$



120°

60°

40°

$120^\circ/n$

例

- 如果某个非线性器件的伏安特性可用折线表示，其中， $V_{th}=1V$ ， $g=10mA/V$ 。现加偏置电压为 $V_B=-1V$ ，输入余弦信号的幅值 $V_{im}=4V$ ，查表（pp247-249）计算电流中的直流、基波和二倍频分量幅值

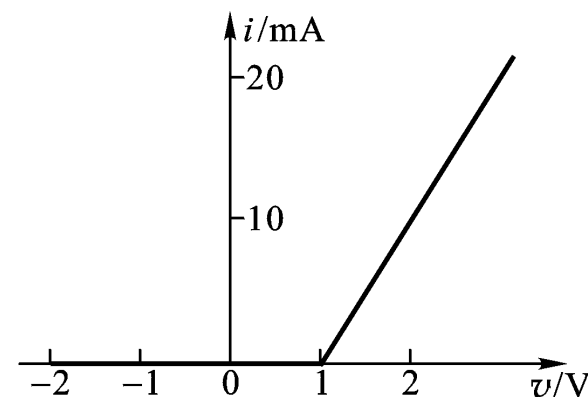
$$\cos\theta = \frac{V_{th} - V_B}{V_{im}} = \frac{1 - (-1)}{4} = 0.5 \quad \Rightarrow \quad \theta = 60^\circ$$

$$I_m = gV_{im}(1 - \cos\theta) = 10 \times 4 \times (1 - 0.5) = 20(mA)$$

$$\alpha_0(60^\circ) = 0.218 \quad \alpha_1(60^\circ) = 0.391 \quad \alpha_2(60^\circ) = 0.276$$

$$I_0 = 4.36mA \quad I_1 = 7.82mA \quad I_2 = 5.52mA$$

作业1：分段折线



- 若非线性电路的输出输入特性如题图所示折线表示。当偏置电压 $V_B = -2V$ ，激励信号 $v_i(t) = 5.2\cos(2\pi \times 10^7 t)$ (V) 时，求输出电流的直流分量 I_0 和频率为 10MHz、20MHz 分量的幅度 I_1, I_2 。
- 若想增大频率为 10MHz 分量的幅度，应如何改变 V_B 和激励信号的振幅 V_{im} ？
 - (1) 非线性电路输出电流无限制
 - (2) 非线性电路输出电流最大为 20mA



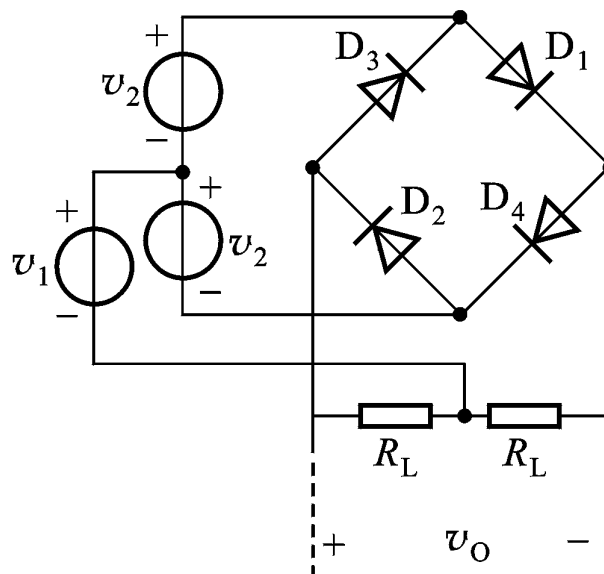
作业2：线性非线性？

- 分别说明下列各种电路是线性电路，还是非线性电路，并具体说明它能否进行频率变换。
 - (1) 整流器；
 - (2) 混频（变频）器；
 - (3) 并联或串联谐振回路（输入信号是许多频率的正弦波）；
 - (4) 脉冲技术中的RC微分电路，RC积分电路；
 - (5) 工作在开关状态的二极管。

频率变换：只要电路可以产生新频率分量，则可实现频率变换

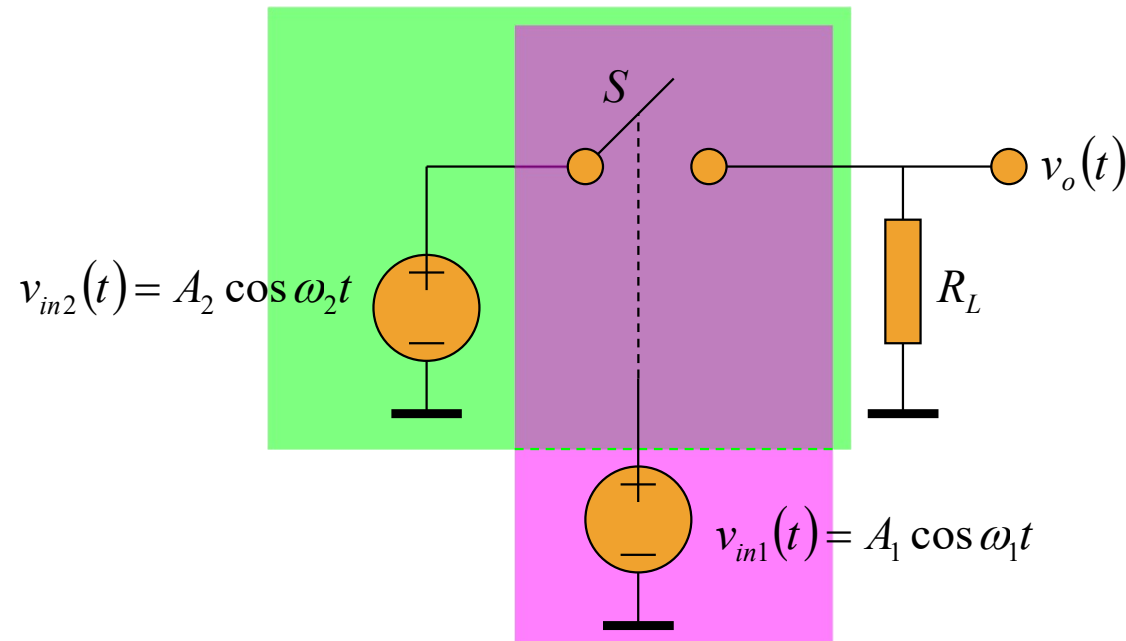
作业3：桥式二极管作乘法运算

- 题图电路中，设四个二极管的特性相同，均为 $i = b_0 + b_1 v + b_2 v^2 + b_3 v^3$ ，已知 v_1 ， v_2 ，试求输出电压的表示式。

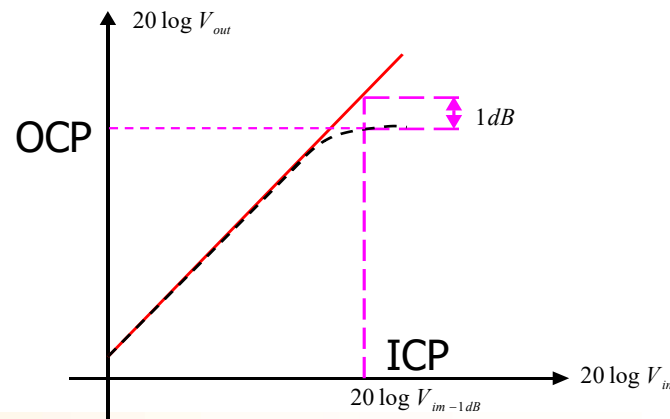


作业4：线性和非线性

- 对于图 (a) 的简单开关电路：
 - 证明这是一个非线性系统：把信号源1作为输入，信号源2作为系统的一部分；
 - 证明这是一个线性系统：如果把信号源2作为输入，信号源1作为系统的一部分。



CAD作业



- 在库中找到一个BJT晶体管，设计一个在10MHz频点上，带宽为100kHz的A类功放
 - 直流电压源5V，希望线性功率输出1W，信源内阻50欧姆，负载电阻50欧姆
 - 测试所设计的功放的最大线性功率输出是否可以达到1W
 - 1dB压缩点回退6dB
 - 测试此时的放大倍数，转换效率，非线性失真



思考题

- 某同学采用预失真方法，期望获得线性度足够高的线性放大器。经实测，其三阶互调失真分量随输入幅度增加dB数增加斜率为5，请解释为什么？是否测试有问题？
 - 通常情况下，三阶互调失真分量随输入幅度增加dB数增加斜率为3